

徳島県浅川湾における津波の挙動に関する考察

徳島大学工業短期大学部 正員 村上仁士
阿南工業高等専門学校 正員 鳥田富美男
徳島大学工業短期大学部 正員 細井由彦

1. まえがき：南海道地域では、波源域かほぼ一致する津波が100～150年の間隔で発生しており、そのためことに津波災害が繰り返されている。¹⁾特に、徳島県海部郡にある浅川湾は図-1に示すように典型的なV字型湾であり、波源にも近く今まで津波が発生するたびに莫大な被害を受けている。²⁾しかしながら、浅川湾に来襲した数多い津波のなかで解析に利用できる津波資料が残されている場合は少なく、ただ1946年の南海地震津波の場合には比較的津波資料が残っており、津波の痕跡が現存し、また津波の目撃者もかなり生存している。そこで本研究は、津波の来襲状況の記録などを調査し、さらに数値計算を行なうことにより、浅川湾の津波特性を明らかにする。

2. 浅川湾における南海地震津波の様相：浅川を襲った南海地震津波の様子について、河野の証言³⁾、浅川村震災誌などによると、第1波は2.7～3.6m、第2波は3.6～5.2m、第3波は3.3～4.4mの範囲ということになり、周期は15～20分であるといえる。なお、浅川湾奥での潮位記録をスペクトル解析した結果、固有周期は約20分であり、海水の共振現象を起していった可能性がある。また、湾内に侵入した津波は図-1に示すように通常とは逆に反時計方向に流れたという報告⁴⁾があるが、八幡は図中の点線で示したような流れがあったことを絵に描いて残しており、自宅の流失物の発見場所および太田地区の家屋や船の流失先からそう判断している。

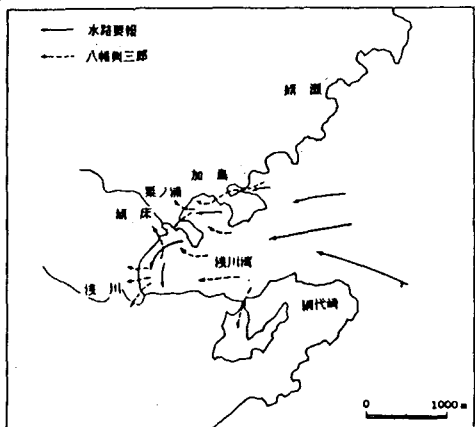


図-1 浅川湾内の津波の進行方向

3. 数値計算による南海地震津波の再現：(1) 計算手法 1946年の南海地震津波を再現するため、昨年度の海講と同様に基礎方程式として次式の移流項および摩擦項を含む運動方程式と連続式を差分方程式に変換して数値計算を行なった。

$$\frac{\partial Q_x}{\partial t} + \frac{1}{R+7-\xi} \left[\frac{\partial(Q_x^2)}{\partial x} + \frac{\partial(Q_x Q_y)}{\partial y} \right] = -g(R+7-\xi) \frac{\partial \eta}{\partial x} - Y_b^2 \frac{Q_x \sqrt{Q_x^2 + Q_y^2}}{(R+7-\xi)^2} \quad (1) \quad \frac{\partial Q_y}{\partial t} + \frac{1}{R+7-\xi} \left[\frac{\partial(Q_x Q_y)}{\partial x} + \frac{\partial(Q_y^2)}{\partial y} \right] = -g(R+7-\xi) \frac{\partial \eta}{\partial y} - Y_b^2 \frac{Q_y \sqrt{Q_x^2 + Q_y^2}}{(R+7-\xi)^2} \quad (2)$$

$$\frac{\partial \eta}{\partial t} + \frac{1}{R+7-\xi} \left[\frac{\partial(Q_x Q_y)}{\partial x} + \frac{\partial(Q_y^2)}{\partial y} \right] = -g(R+7-\xi) \frac{\partial \eta}{\partial x} - Y_b^2 \frac{Q_y \sqrt{Q_x^2 + Q_y^2}}{(R+7-\xi)^2} \quad (3)$$

ここで、 η は静水面からの水位上昇量、 ζ は地震による海底変動量、 R は水深、 Q_x, Q_y はそれぞれ x, y 方向の線流量、 Y_b は海底摩擦係数であり、 $Y_b^2 = 0.0025$ とした。計算は毎時間ごとの水位上昇量と線流量を交互に求めるLeap-frog法を用いた。計算領域は図-2に示すように4領域に分割し、格子幅 ΔS は南海トラフを含む領域Iで5km、領域IIの紀伊水道では2.5km、領域IIIの浅川湾の沖側で625m、領域IVの浅川湾で156.25mと順次格子幅を小さくした。

2領域間の接続方法は、広い格子領域の1格子分を狭

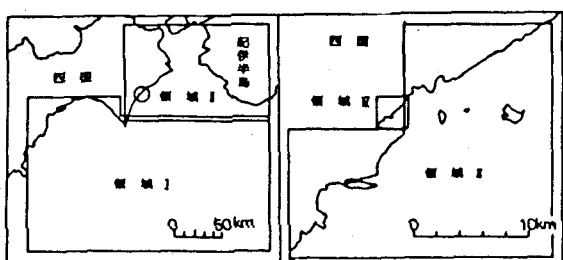


図-2 計算領域

い格子領域と重ね合わさるようになり、接続部分の線流量 Q_x, Q_y および水位上昇量 η を内神により与えた。境界条件としては、岸側境界では越波を許さず完全反射するとして、壁面の直角方向の線流量を 0 と仮定した。友ヶ島水道と鳴門海峡では、反射率を 0 として、谷本ら⁷⁾の任意反射率境界の条件を用いた。また、計算領域の沖側の外海との接続部の境界では $D_x^2 + Q_y^2 = g(\theta + \gamma - \delta) \Delta t^2$ の関係を用いて線流量を決定した。初期条件として、地震による海底変動量と同じ量だけ水面が一定時間で線形的に増加すると仮定し、計算時間間隔 Δt は差分の安定性を考慮して 5 秒として計算を行なった。この海底変動量としては、安藤の提案した断層モデル⁸⁾を使用し、Mansinha-Smylie⁹⁾の方法で計算した値を用いた。なお、計算では図-3 に示す P0.1 ~ P0.15 の地点における水位の時間的変化および各格子における最大水位上昇量を求めた。

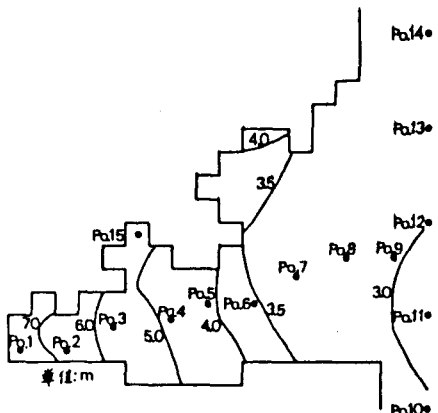


図-3 浅川湾の津波高分布

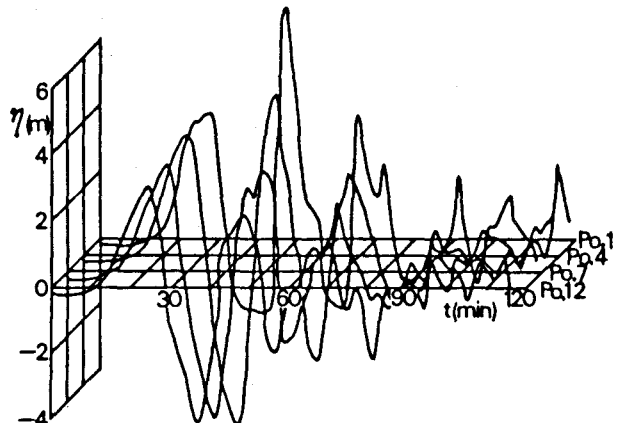


図-4 津波の波形変化

(2) 計算結果 図-3 は、津波発生から 2 時間にわたり浅川湾内の各格子における最大水位の分布を等高線で表わしたものである。図より、湾口付近で η_{max} が 3m 程度であり、湾奥に近づくにつれ η_{max} が大きくなり、湾奥で 7m 以上になる。図-4 は、P0.12, P0.7, P0.4, P0.1 における水位の時間的変化を表わしたものであり、湾口近くの P0.12 では津波の第 1 波がいちばん大きく、第 2 波、第 3 波と順番に小さくなっている。しかししながら、湾奥へ津波が伝播するにしたがって津波高が大きくなり、特に第 2 波の增幅される割合が大きく、湾奥では第 2 波がいちばん大きくなり、2.で述べた調査結果とよく一致する。また、津波の第 1 波の来襲時刻は調査結果と数値計算結果がほぼ一致するが、第 2 波の来襲時刻は計算結果が調査結果より少し遅くなつた。

4. あとがき： 岸側境界で越波をせず完全反射すると仮定し、断層モデルによる海底変動量を与えた場合の数値計算により、若干波高が大きくなるが浅川湾内の津波の挙動をうまく再現できることが明らかになつた。（しかししながら、実際現象である津波の陸上への週上を考慮していくので、今後陸上への週上を含めた数値計算により津波の挙動を明確にしたい。）

参考文献 1) 羽島徳太郎：大阪府・和歌山県沿岸における宝永・安政南海道津波の調査、地殻研究所彙報, Vol. 55, pp. 505-525, 1920. 2) 猪井連雄・澤田健二・村上仁三：徳島の地殻津波—歴史資料から一、徳島市民双書 16, 235P, 徳島市立図書館, 1982. 3) 牟岐町震災記録委員会：牟岐町震災史抄, 33P. 4) 浅川村震災記録委員会：南海地震浅川村震災誌, 58P, 86 和 32 年. 5) 水路部：昭和 21 年南海大地震報告 津波編, 水路要報増刊号, 昭和 23 年. 6) 島田富美男・森泰宏・酒井哲郎：臨海工業地帯沿岸での津波の挙動、第 31 回講論文集, pp. 228-232, 1974. 7) 谷本勝利・小舟浩治・小松和彦：数値波動解析法による港内波高分布の計算、港湾技術研究所報告, pp. 35-58, 1975. 8) Ando, M.: Source mechanisms and tectonic significance of historical earth quake along the Nankai trough, Japan, Tectonophysics, Vol. 27, pp. 117-140, 1975. 9) Mansinha, L. and D. Smylie: The displacement fields of inclined faults, Bull. Seismol. Soc. Amer., Vol. 61, pp. 1433-1440, 1971.